

15/1

ИНСТИТУТ КОСМИЧЕСКИХ ИССЛЕДОВАНИЙ АН СССР МОСКВА  
ГЕОФИЗИЧЕСКИЙ ИНСТИТУТ СЛОВАЦКОЙ АКАДЕМИИ НАУК БРАТИСЛАВА

# СБОРНИК

## ТРУДОВ МЕЖДУНАРОДНОГО СИМПОЗИУМА ПО ФИЗИКЕ ИОНОСФЕРЫ И МАГНИТОФЕРЫ ЗЕМЛИ И СОЛНЕЧНОГО ВЕСТРА

Том 2

РЕДАКТОРЫ

Г.Л. ГДАЛЕВИЧ (ИКИ АН СССР)

С. ПИНТЕР (ГИ САН)

ГУРБАНОВО, 1977 г.

В.В.Афонин, Я.Имилдауэр

## СУБАВРОРДНЫЕ ПОВЫШЕНИЯ ЭЛЕКТРОННОЙ ТЕМПЕРАТУРЫ

### I. Введение.

Целый ряд работ, появившихся в последние годы, посвящен изучению связей повышения интенсивности колыцевого тока во время суббурь и повышения электронной температуры в ионосфере, иногда до величин, позволяющих возбуждение атомов кислорода и их свечение  $OI$  ( $^1D_2 - ^3P_2$ ) на длине волн 6300 Å. Началом этих работ явилось установление корреляции стабильных авроральных красных дуг (SAR-arcs) и понижения  $D_{St}$  [1,2], связи положения красных дуг и плазмопаузы [3] и понижения концентрации  $H^+$  в районе красных дуг [4]. Корнуали и др. [5] и другие авторы [6,7] предложили более вероятный механизм передачи энергии от протонов с энергиями порядка десятков кэВ к электронам ионосферной плазмы: ионно-циклотронные волны, усиливаемые взаимодействием с протонами колыцевого тока, распространяются вдоль силовых линий в сторону ионосфера и посредством затухания Ландау передают свою энергию к окружающим электронам, которые, в свою очередь, передают энергию на ионосферные уровни. Детали этого процесса и относительная роль различных механизмов переноса энергии на ионосферные высоты (конвекция, теплопроводность, перенос непосредственно волнами) не совсем ясны. Однако до сих пор волны предполагаемых частот не наблюдались.

Эта работа является вкладом в изучение широкого диапазона вопросов, связанных с вышеуказанными эффектами. На основе измерений на спутниках "Космос-378" и "Интеркосмос-8" показывается, что повышения электронной температуры ( $T_e$ ) в субавроральной зоне имеют место не

только в возмущенных, но и в спокойных условиях, хотя величины повышений недостаточны к возбуждению детектируемого излучения кислорода. Морфология этих повышений показывает одинаковую природу с красными дугами, но в этом случае вопрос о механизме притока энергии встает более остро.

## 2. Экспериментальные данные

На спутниках "Космос-378" и "Интеркосмос-8" проводились измерения электронной температуры методом высокочастотного зонда [8,9]. Несмотря на разные формы датчиков (сферический и плоский) и особенности отдельных аппаратур, точность измерений и разрешение по времени (порядка нескольких секунд) сравнимы. Обработка данных и вычисление температуры электронов ионосферной плазмы проводилось в предположении максвелловского распределения скоростей. Закон распределения может нарушаться в областях с пониженным значением частоты соударений электронов или в потоках энергичных частиц (энергии порядка эВ). На основе проведенного анализа можно предполагать, что на имеющихся высотах и в субавроральных областях существуют некоторые отклонения в сторону больших температур, но они не исказят общая картина изучаемого эффекта.

Спутник "Космос-378" был запущен на орбиту с наклонением  $74^{\circ}$  и высотами перигея и апогея 240 и 1750 км соответственно. Полученные данные относятся к зимнему периоду 1970–1971 гг. Спутник "Интеркосмос-8" работал на два года позже (декабрь 1972 – январь 1973 гг.), наклонение орбиты  $71^{\circ}$ , высоты перигея и апогея 210 и 670 км. Для поведения электронной температуры в субавроральных областях, согласно нашим измерениям, характерно четко выраженное повышение в узком интервале инвариантных широт (порядка  $3\text{--}8^{\circ}$ ), причем величина повышений достигает иногда  $2000\text{--}3000^{\circ}\text{K}$ . По этим характеристикам субавроральные повышения  $T_e$  скорее являются "волнастыми  $T_e$ ". Такая картина отличается от ранее описанных плавных и

широких максимумов на магнитных широтах 50–60°. Появления  $T_e$  подобного характера описаны в работах [10, II], не они относятся к магнитно-взаимодействию периодам. В отличие от этих экспериментов, появление  $T_e$ , наблюдаемое на спутниках "Космос-378" и "Интеркосмос-8", относится, в основном, к магнито-спокойным условиям.

Примеры возрастаний  $T_e$ , полученных на спутнике "Космос-378" зимой 1970–71 гг., приведены на рис. I, а на спутнике "Интеркосмос-8" – на рис. 2. Примеры изображены таким образом, чтобы продемонстрировать присутствие этих явлений во всем диапазоне высот спутников (250–1600 км, 230–600 км); большинство примеров из северного полушария. На рис. 3 показано семь переходов субавроральной зоны спутником "Интеркосмос-8" зимой 1972 г. Итакие линии соединяют моменты переходов инвариантных широт  $\Lambda = 63^\circ, 60^\circ, 55^\circ$  ( $L = 5, 4 \text{ и } 3$ , соответственно). На каждом графике приведены номер явления, высота и местное время прохождения оболочки

$L=4,0$ . В правой части рис. 3 для рассматриваемого периода приведены значения  $K_p$ , положение центра вселесков  $T_e$  (светлые кружки) в  $L$ -координатах и экваториальные  $D_{St}$  – вариации горизонтальной компоненты геомагнитного поля. Наружное положение возрастаний  $T_e$ , как следует из рис. 3, коррелирует с геомагнитной активностью – с увеличением  $K_p$  и понижением  $D_{St}$  – возрастания  $T_e$  смещается к экватору. В конце длительного магнито-спокойного периода 11 декабря 1972 г. (сессия III-172) явление  $T_e$  располагалось на  $L=5,6$ . В максимуме геомагнитной бури 15–16 декабря 1972 г. ( $K_p=7+$ ,  $\sum K_p=28$ ,  $D_{St}=-53$ ) рост  $T_e$  смещается на  $L=2,8$ , т.е. на  $12^\circ$  по инвариантной широте к экватору.

Для обобщения морфологии наблюдаемых явлений  $T_e$  были построены карты распределения их максимумов в координатах местное время–инвариантная широта для обоих спутников (рис. 4 и рис. 5). На этих рисунках заштрихованы области – овал полярных склонов по Фельдштейну. В нижней части рисунков приведены гисто-

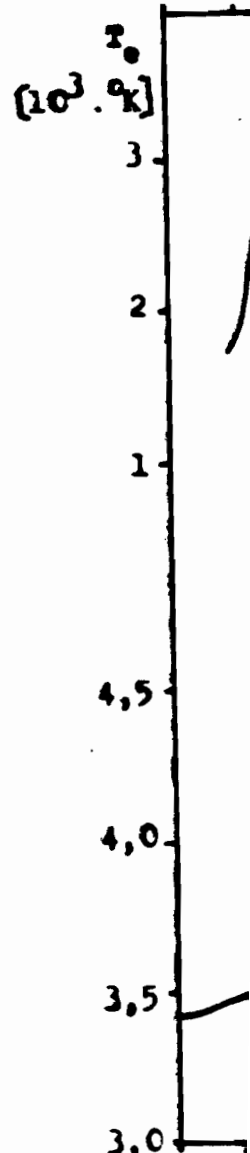
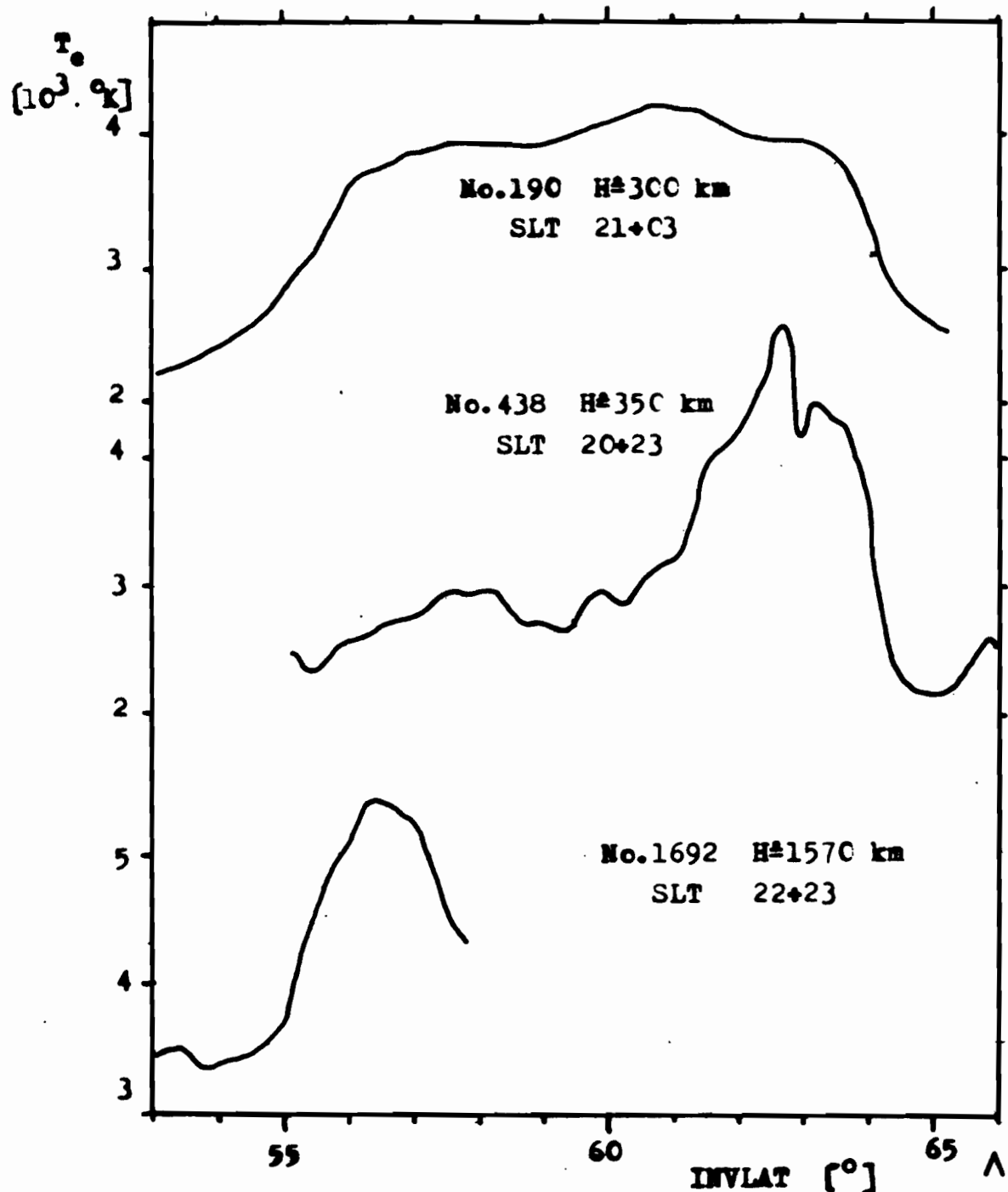


Рис.2.

Рис.1. Позиции  $T_e$ , Космос 378, 1.12.1970,  
19.12.1970, 19.3.1971.

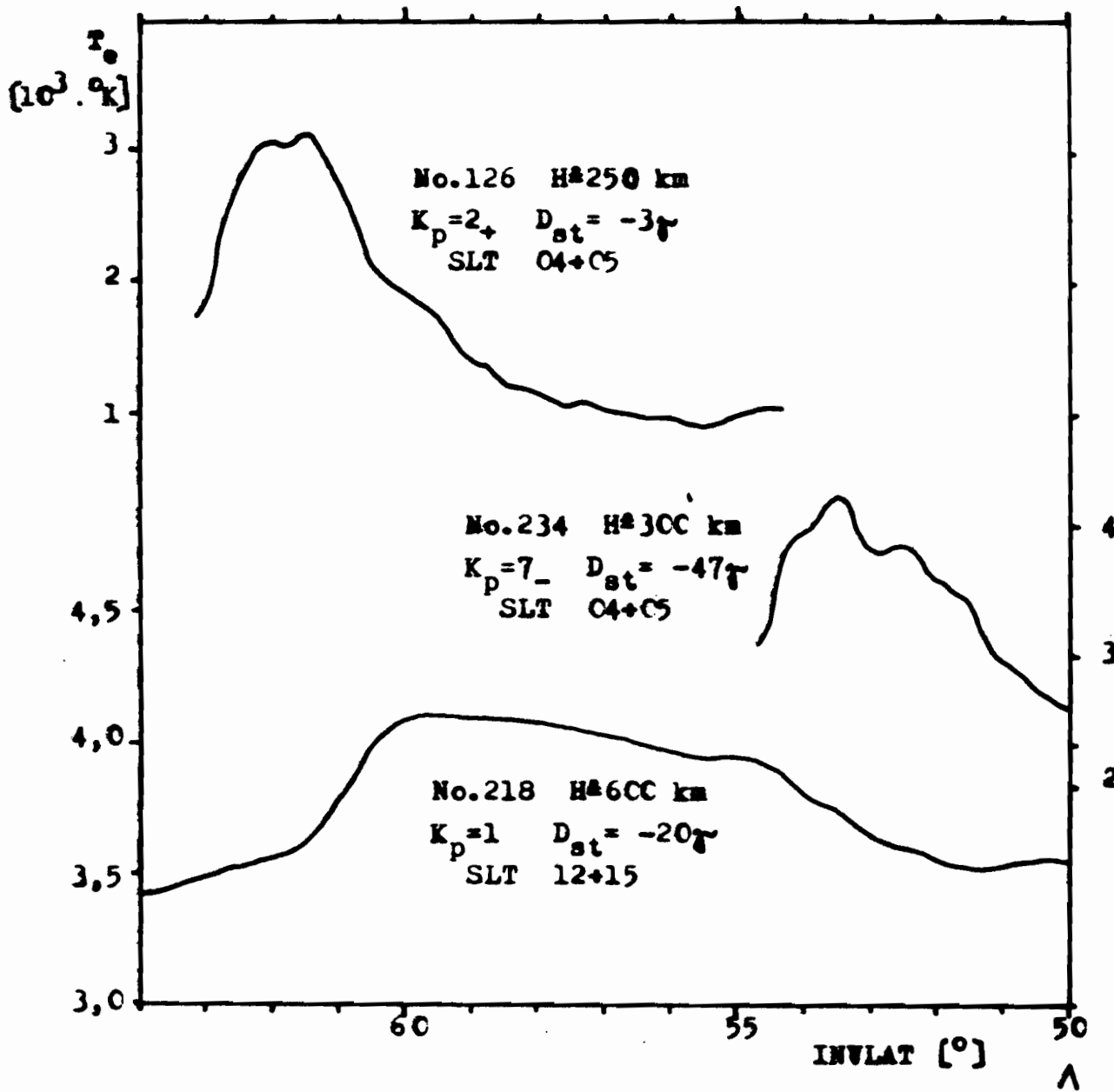


Рис.2. Изменение  $T_e$ . Интереснос 8, 9.12.1972,  
15.12.1972, 14.12.1972.

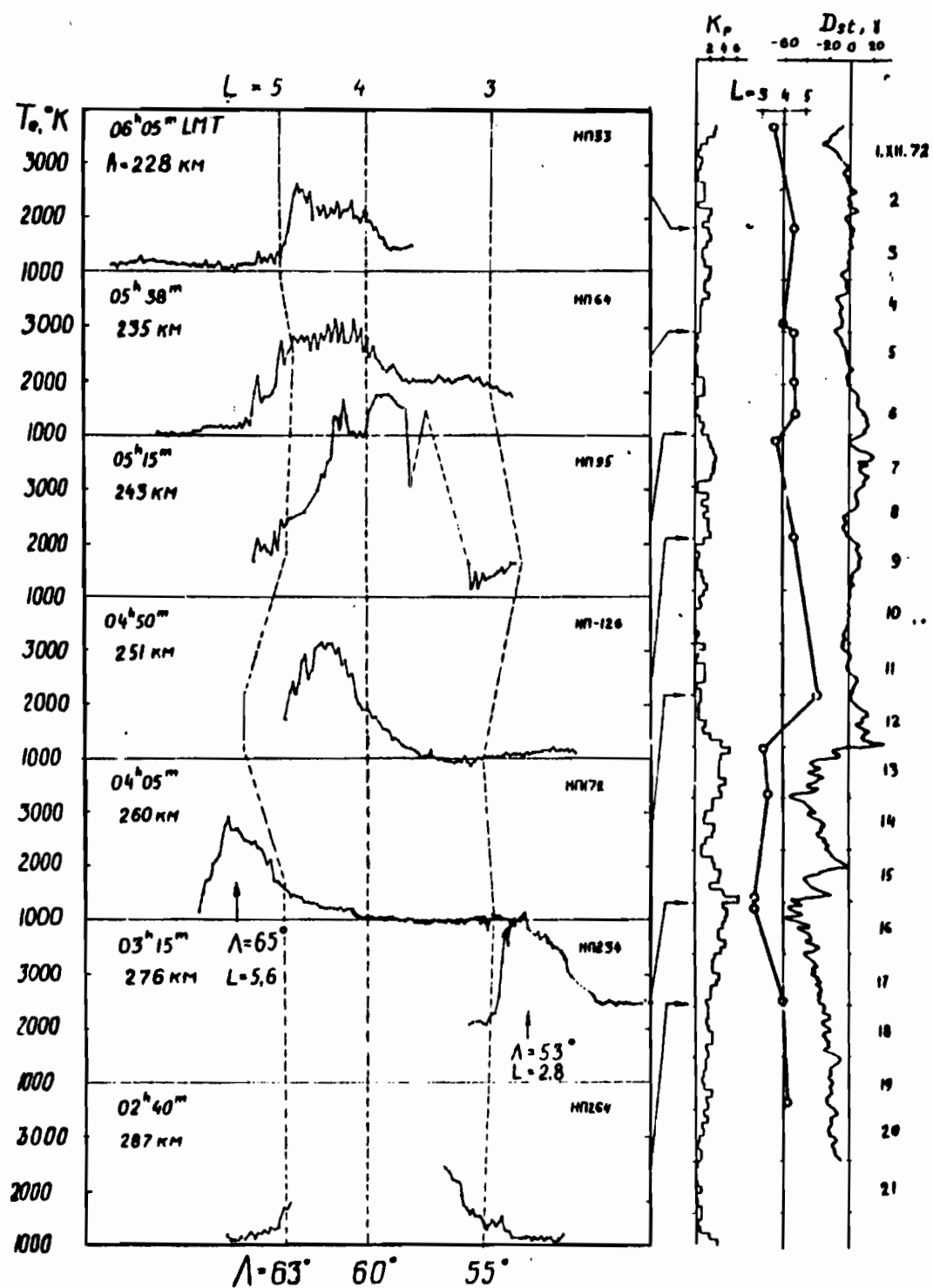


Рис.3. Поведение субавроральных возрастаний  $T_e$  в декабре 1970г.  $\square$  — о —  $\Delta$  — параметр центра по-вышения  $T_e$ .

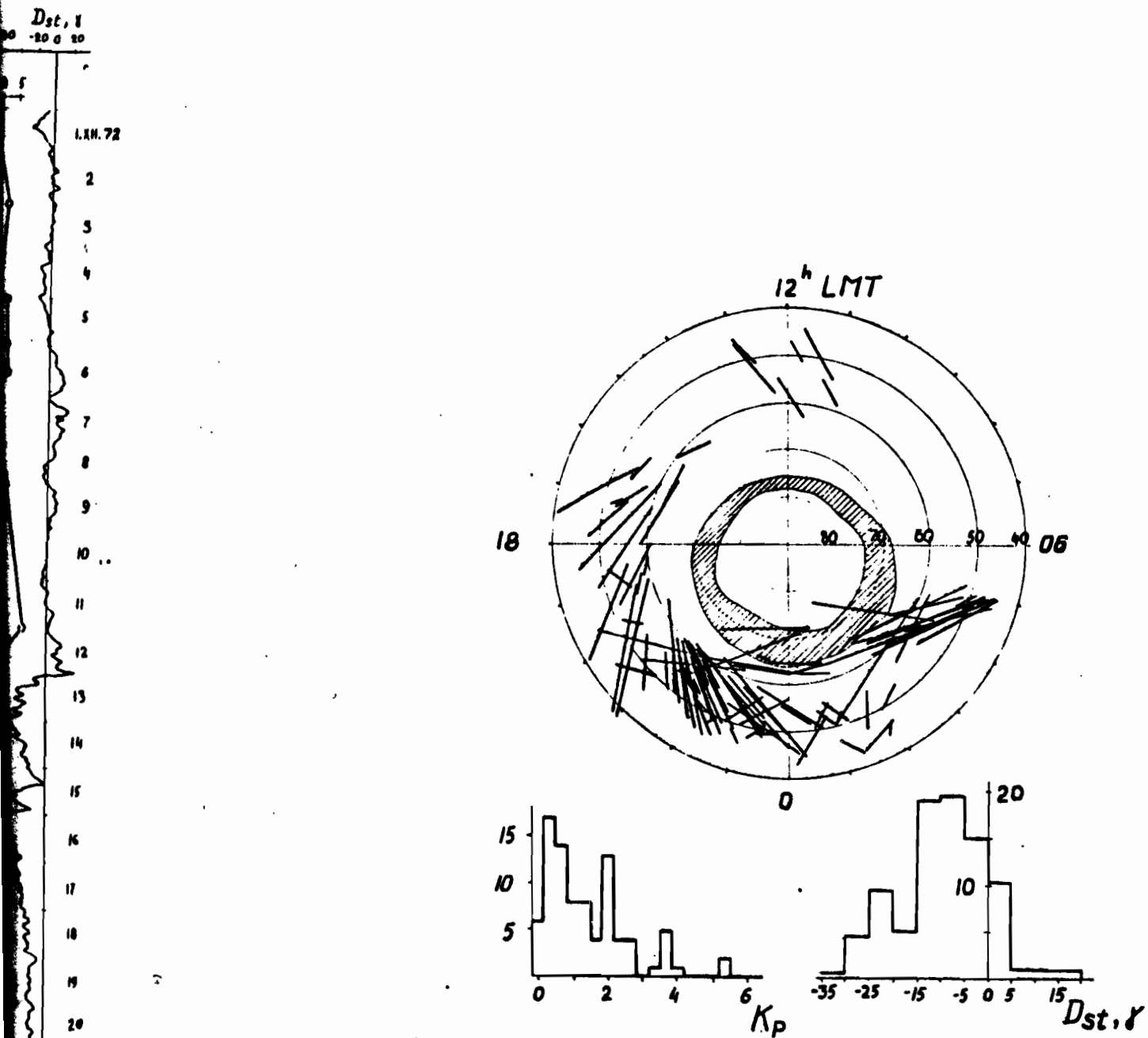


Рис.4. Участки траекторий спутника "Космос-378", на которых наблюдалось повышение  $T_e$  (зима 1970-71 гг.) и гистограммы распределения по  $K_p$  и  $D_{st}$  в кв.

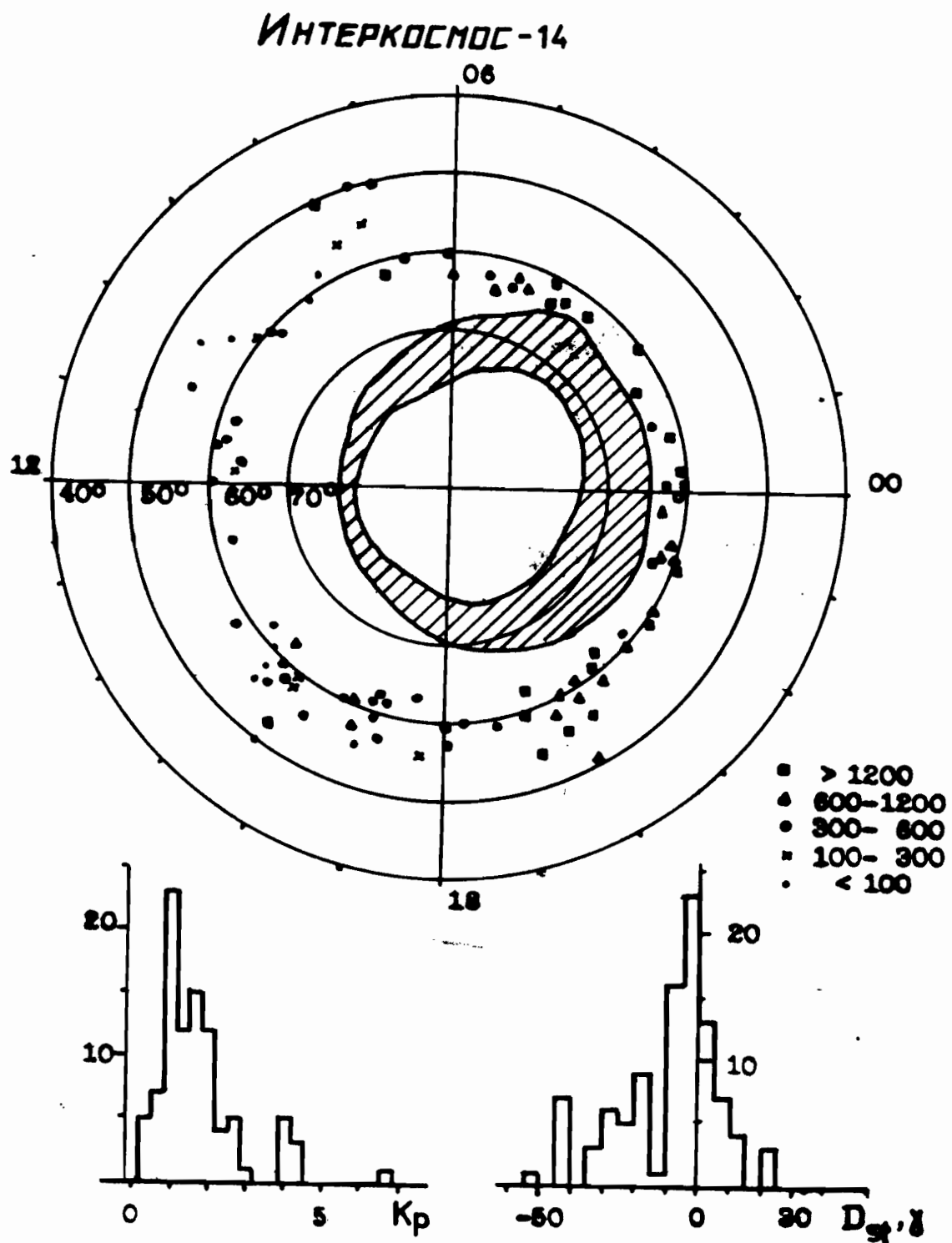


Рис.5. Распределение центров яркихений  $T_e$  в координатах  
солнечное время - квадратурном широте

грамм распределений числа случаев наблюдения возрастаний  $T_e$  по уровням планетарной геомагнитной активности  $K_p$  и интенсивности колышевого тока, представленного параметром  $D_{StKm}$ . Как видно из этих гистограмм, большинство случаев появления возрастания  $T_e$  приходится на магнито-спокойные периоды ( $K_p \leq 3$ ). Соответственно, максимум числа повышений приходится на периоды нормальной или слабо повышенной интенсивности колышевого тока.

На основе имеющегося материала из зимних периодов 1970-1971 гг. и 1972-1973 гг. можно сделать следующие заключения:

1. В субавроральных зонах в диапазоне инвариантных широт  $50^\circ$ - $64^\circ$  ( $L$  - параметр 2,5-5,3) очень часто появляются повышения  $T_e$  типа всплесков, относительная амплитуда которых составляет сотни  $^{\circ}\text{K}$  в дневное время и достигает амплитуды  $2000$ - $3000$   $^{\circ}\text{K}$  в ночном секторе. Ширина этих повышений составляет несколько градусов, порядка  $3^\circ$ - $8^\circ$ . Хотя материал перекрывает почти весь диапазон по местному времени, из-за ограниченного числа измерений в отдаленных секторах невозможно сделать определенные заключения относительно асимметрии зоны повышений  $T_e$ . Можно только отметить пенистый разброс в ночном секторе, который увеличивается днем и наибольших значений достигает в вечернем секторе.

2. Повышения  $T_e$  наблюдаются во всем диапазоне высот орбиты спутников, т.е. с высот от 250 до 600 км или 1600 км. В общем нет четко выраженной зависимости амплитуды всплеска от высоты, проявляется тенденция к повышению амплитуды с высотой.

3. Одной из важных характеристик повышений  $T_e$  является их постоянство во времени, несмотря на относительно магнито-спокойный характер периодов наблюдений. Эффект повышения можно установить приблизительно в 75-80% активных проходов спутника субавроральной зоны.

### 3. Дискуссия:

Как уже отмечалось, подобные повышения описаны для отдаленных случаев по измерениям ESRO-I, ISIS-I

и 2, но всегда в связи с магнитными возмущениями, или даже с появлением красных дуг. Причиной того, что наши наблюдаемые изменения не отмечались ранее, может быть невысокая разрешающая способность высокочастотного зонда, который в пределе позволяет почти непрерывное измерение  $T_e$ .

Первым вопросом для рассмотрения является падение измерений относительные провала в легких ионах. Из ряда вытоков, на которых получена одновременная информация по  $T_e$  и плотности электронов (высоты примерно 300 км, точнее время) можно установить, что изменения появляются внутри провала, чаще всего на экваториальном склоне провала. Более определенное заключение можно получить по измерениям, проводимым на борту спутника "Интеркосмос-14", где одновременно производились измерения  $T_e$  и прием СНЧ излучений. Повышение  $T_e$  здесь появляется внутри зоны приема канализированных свистов, хотя близко к их полярной границе [12]. На основе этих наблюдений можно утверждать, что изменения  $T_e$  имеют место внутри области замкнутых силовых линий.

Вышеуказанные результаты показывают, что субауроральные изменения имеют исходную пространственную морфологию, как стабильные красные дуги. Но этой причине можно предполагать, что и механизмы их возникновения похожи. Недавние результаты работ последних лет [5,6,7,13], можем первоначальной причиной появления красных дуг считать протеки колецевого тока. В течение суббури вместе с сдвигом плазмосферы наической стороне происходит инъекция частиц из плазменного слоя (в основном протонов) до пределов границы сдвиговой плазмосферы. В фазе восстановления в области колецевого тока начинает повышаться плотность холодной плазмы и возникает ионно-циклостронная неустойчивость. Взаимодействие волн с энергичными частицами начинается с высоких энергий и вне экватора усиление волн способствует с одной стороны появление анизотропии пульсиро-распределении для высоких энергий, что важно для форми-

сирования эффекта [7], с другой стороны, волны распространяются вдоль силовых линий до магнитосферных высот, где посредством затухания Ландау нагревают электроны. Кроме этого основного механизма предполагается первоначальный нагрев кулоновскими столкновениями с высвобождающимися протонами; при повышенной  $T_e$  повышается эффективность затухания Ландау.

Основными вопросами, которые необходимо решать при применении такого рода механизма для объяснения наших наблюдений, является перенос энергии на низкие высоты, на которых ионно-циклотронные волны не распространяются и, во-вторых, постоянный характер повышенной  $T_e$ . Первый вопрос более общий, он связан с отсутствием прямых наблюдений волн в диапазоне 0,1-3 Гц даже в присутствии красных дуг. В этом направлении, по нашему мнению, важны две работы. Галеев [14] предложил механизм переноса энергии от ионно-циклотронных волн к протонам, более эффективный чем механизм переноса энергии к электронам. Грингауз [15] сообщил результаты наблюдений так называемой "горячей зоны", содержащей протоны с энергиями порядка 1-10 эВ, для которых источником нагрева могут служить ионно-циклотронные волны. Такие зоны, по измерениям "Прогноза-1", обнаружены при совсем разных условиях, в том числе в магнито-спокойных периодах.

Существуют тогда два возможных пути передачи энергии ионно-циклотронных волн плазме, причем нагрев протонов является более вероятным механизмом, а связанные с ним горячие зоны, расположенные на внутренней стороне плазменаузы, наблюдались экспериментально. Само присутствие областей с температурой ионов  $10^4$ - $10^{50}$  К наблюдалось уже раньше [16], но для объяснения субавроральных повышений важны их морфологические свойства, которые можно перечислить на основе [15]: а) внешняя граница горячей зоны соответствует предположениям о размерах и динамике плазмоаузы, б) широтные градиенты  $T_i$  на границах горячей зоны большие, в некоторых случаях достигают даже  $10^{50}$  К в расстояниях долей  $L$ , в) ширина

зон по инвариантной широте составляет  $8^{\circ}$  в спокойных условиях и сужается до  $3^{\circ}-4^{\circ}$  в возмущенных условиях.

По-видимому, получается качественное соответствие субавроральных повышений  $T_e$  и горячих зон; для количественной оценки их связи, т.е.: переноса энергии от протонов к электронам, исходим из потока тепловой энергии электронного газа на уровне приблизительно 500 км, выше которого можно пренебречь (относительно конвекции) локальными стеками и источниками энергии электронов. Этот поток имеет величину порядка  $5 \cdot 10^9 \text{ эВ.см}^{-2}\text{с}^{-1}$ ; поток на порядок выше уже обеспечивает свечение кислорода с интенсивностью  $I \text{ кР}$  [5]. Обмен энергией между протонами и электронами описывается уравнением Фоккера-Планка, в котором не учтываем член трения (пренебрегая различием средних скоростей). Согласно [17] характерное время установления температур  $T_i$  и  $T_e$  равно

$$\tau = \frac{m_i}{m_e^{1/2}} \frac{(2kT_i)^{3/2}}{4\pi N e^4 \lg \lambda},$$

где  $k$  - постоянная Больцмана,  $T_i$  - эффективная температура ионов,  $N$  - концентрация ионов и  $\lg \lambda$  - кубитоневский логарифм. Для  $T_i = 10^{40} \text{ К}$ ,  $N = 10^3 \text{ см}^{-3}$ ,  $\lg \lambda = 20$  это время приблизительно  $2 \cdot 10^4 \text{ сек.}$  При этом заметим, что время установления максвелловского распределения электронов меньше почти на четыре порядка и равно для вышеприведенных величин 5 сек. Интенсивность передачи энергии для  $T_i \gg T_e$

$$q = \frac{3}{2} \frac{kT_i}{e} N \frac{1}{\tau} = q_0 \frac{N^2 \lg \lambda}{(kT_i)^{1/2}}$$

т.е.  $\sim 8 \cdot 10^{-2} \text{ эВ.см}^{-3}\text{с}^{-1}$ . Обмен энергией происходит во всем объеме силовой трубы с высоты  $h_0$  (500 км) до экватора:

$$V = \int_{S_0}^{S_c} S dS = L \frac{(1+4 \operatorname{ctg}^2 \theta_0)^{1/2}}{\sin^4 \theta_0} \int_{\theta_0}^{\pi/2} \sin^6 \theta d\theta$$

где  $\theta_0 = \arcsin((R_E + h)/LR_E)$ . Для  $L=5$  получаем  $\theta_0 = 0,483$  и  $V = 1,35 \cdot 10^{11} \text{ см}^3$ , тогда  $qV \approx 1,1 \cdot 10^{10} \text{ эВ.см}^{-2}\text{с}^{-1}$ .

В силу небольших изменений  $\lg \lambda$  с изменением  $N$  и  $T_i$

можно принять оценки

1. нам может держания с

2.

концентрация областях может появляться бурь

3.

точки земных зем

4.

производства частиц. максвелла. Присутствует метис образование

5.

свою очередь но на основе причин максвелловской энергии ионно-квантовых реакций на два выше охарактеризованных существующих  $N_e$ .

ростом венной ре

Этот

можно приблизительно выразить  $q \sim N^2 \cdot E^{-1/2}$ , где  $E$  – средняя энергия ионов. На основе приведенных зависимостей и оценки можно сделать следующие заключения:

1. Передача энергии протонов горячих зон электронам может обеспечить поток энергии достаточный для поддержания повышенной электронной температуры в субавроральных областях даже в спокойные периоды.

2. Скорость передачи энергии зависит от квадрата концентрации заряженных частиц и она больше в приземных областях силовых трубок. Кроме этого такая зависимость может повысить эффективность передачи во время магнитных бурь при сжатии плазмосфери.

3. Более эффективны ионы низких энергий, с этой точки зрения сомнительна роль прямого нагрева ионосферных электронов протонами кольцевого тока.

4. Затухание Ландау, как известно, пропорционально производной функции распределения в области резонансных частиц. Для этого важно значение скорости установления максвелловского распределения, которое отмечалось выше. Присутствие повышенного хвоста тепловых электронов заметно снижает производную, т.е. и передачу энергии.

Одним из второстепенных механизмов, который, в свою очередь, может углублять эффект повышения  $T_e$  именно на высотах ниже 500 км, является понижение  $N_e$ , причино связанное с ростом  $T_e$  [18]. Электроны хвоста максвелловского распределения с энергиями  $> 1$  эВ с большой эффективностью возбуждают молекулы  $N_2$  в вибрационно-колебательные состояния  $N_2^*$  и так как скорость реакции  $O^+ + N_2 \xrightarrow{k_1} NO^+ + N$  повышается для  $N_2^*$  почти на два порядка [19] и скорость рекомбинации ионов  $NO^+$  выше скорости процессов рекомбинации  $O^+$ , в итоге понижается  $N_e$ . При этом необходимо отметить, что должна существовать температура  $T_e$ , оптимальная для понижения  $N_e$ .

Но, потому что, с одной стороны,  $k_1$  повышается с ростом  $T_e$ , но, с другой стороны, скорость диссоциативной рекомбинации  $NO^+$   $k_2$  понижается:  $k_2 \sim T_e^{-(0,4+0,8)}$ . Этот механизм имеет место в основном для высот ниже

500 км, где, во-первых, концентрация  $N_2$  достаточно велика и, во-вторых, понижение концентрации ионов оказывается заметным образом в уменьшении одного из основных стоков энергии электронов.

Последним вопросом, пока не решенным, является существование непрерывного во времени источника энергии нагрева протонов горячих зон, или субавроральных повышений  $T_e$ , т.е. по-видимому, источника ионно-циклотронных волн. В первых работах предполагаемый кольцевой ток, состоящий из протонов, должен быстро нарушаться. Препроцессом исчезновения является диффузия частиц по штифту-углам и их попадание в конус потерь; другим, важнейшим механизмом, является перезарядка протонов с атомами водорода  $H^{++} + H \rightarrow H^+ + H^+$  с последующим уходом энергичных атомов водорода [20]. Несоответствие скорости исчезновения протонов и времени жизни кольцевого тока привело Тинсли [21] к предположению о заметном содержании  $He^+$  в кольцевом токе, так как для ионов гелия сечение перезарядки почти на два порядка ниже чем для протонов. Не исключено содержание даже более тяжелых частиц ( $C^+, N^+, O^+$ ). Другим возможным объяснением является некий механизм постоянной инъекции частиц в кольцевой ток. Измерения Франка [22] показали соединение плазменного слоя и кольцевого тока в области его соприкосновения с плазмосферой в послеполуночном секторе. Для объяснения или отклонения такой инъекции недостаточны экспериментальные данные и пока теоретически не решался.

#### 4. Заключение

а) По измерениям на спутниках "Космос-378" и "Интеркосмос-8" было обнаружено почти постоянное существование повышений электронной температуры. Повышения наблюдались в диапазоне высот 250-1600 км в субавроральных зонах, они располагаются на L-оболочках, проходящих внутри плазмосферы близи плазмопаузы.

б) Вероятным механизмом поддержания повышений электронной температуры в магнито-спажайнее время является нагрев протонов горячих зон ионно-циклотронными

1. K. I. 76  
2. R. J. 76  
3. D. L. 419  
4. C. R. 2275  
5. J. M. Rea 21,  
6. D. J. 11. E.  
7. J. A. 459  
8. B. R. 12. F.  
9. J. S. 13. L.  
10. W. 14. A.  
11. E. net  
15. K. I. Sci  
16. G. R. 610

волнами и передача их энергии электронам кулоновским взаимодействием.

в) Постоянство наблюдаемых повышений требует первичный источник ионно-циклотронных волн; постоянный колцевой ток можно объяснить или содержанием  $\text{He}^+$ , или непрерывным притоком частиц из плазменного слоя.

г) В ионосфере повышению  $T_e$  способствует процесс возбуждения молекул азота с последующим понижением электронной концентрации.

### Литература

1. K.D.Cole. J.Geophys.Res., 70 (1965), 1689.
2. R.J.Roble, R.B.Norton, J.A.Findlay, E.Marovich. J.Geophys.Res., 76 (1971), 7648.
3. D.L.Carpenter, J.Geophys.Res., 76 (1971), 3644.
4. C.R.Chappell, K.K.Harris, G.W.Sharp. J.Geophys.Res., 76 (1971), 2357.
5. J.M.Cornwall, F.W.Coroniti, R.M.Thorne. J.Geophys. Res., 76 (1971), 4428.
6. D.J.Williams, L.R.Lyons, J.Geophys.Res., 79 (1974), 4195.
7. J.A.Joselyn, L.R.Lyons. J.Geophys.Res., 81 (1976), 2275.
8. В.В.Афонин, К.И.Грингауз, 1976, в печати.
9. J.Smilauer, K.Kubat. Trav.Geoph.Acad.Tchecoslov.Sci. 21, 457.
10. W.J.Raitt. J.Geophys.Res., 79 (1974), 4703.
11. E.J.Maier, S.Chandra. J.Geophys.Res., 80 (1975), 4591.
12. F.Jiricek. Personal communication, 1976.
13. L.A.Frank, J.Geophys.Res., 76 (1971), 2265.
14. A.A.Galeev. Physics of the hot plasma in the magnetosphere. Plenum Press, N.Y.1975, 251.
15. K.I.Gringauz. Preprint Space Res.Inst.USSR Acad. Sci., D-230, 1976.
16. G.P.Serbu, E.J.R.Maier. J.Geophys.Res., 75 (1970), 6102.

17. N.A.Krall, A.W.Trivelpiece. Principles of plasma physics. McGraw Hill, N.Y., 1973.
18. W.J.Raitt, R.W.Schunk, P.M.Banks. Planet.Space Sci. 24 (1976), 105.
19. W.Lindinger, F.C.Fehsenfeld, A.L.Schmeltekopf, E.E.Ferguson. J.Geophys.Res., 79 (1974), 4753.
20. P.H.Smith, R.A.Hoffman, T.A.Fritz. J.Geophys.Res., 81 (1976), 2701.
21. B.A.Tinsley. Evidence that the recovery phase ring current consists of helium ions. Preprint 1976.
22. L.A.Frank. J.Geophys.Res., 76 (1971), 2265.